

東海大学土木工学科 正員 稲田 喬
 東海大学土木工学科 正員 赤石 勝
 東海大学土木工学科 正員 白子 博明

1. まえがき

現場の沈下解析は、ほとんどの場合標準圧密試験結果を利用して行われる。この慣用的沈下計算法によつて、実用的に満足しうる程度に沈下量を予測しうるが、沈下速度については実際よりかなり遅く予測することの多いことが知られてゐる。

この報告は、供試体寸法の異なる二種類の一次元圧密試験と数值計算によつて、標準圧密試験結果を利用した沈下解析について若干の考察を加えたものである。

2. 試料および実験方法

2.1 試料 実験に用いた試料は、埼玉県草加市で採取したもので物理的性質は表～1に示すとおりである。

2.2 実験方法 波性限界付近の含水比で十分練り返し

た試料を二通りの大型圧密試験機（固定リング式、直徑20cm、高さ7cm）に詰め、先行荷重 $P_0 (=0.4 \text{ kgf/cm}^2)$ を約12日間圧密し、間隙比のほぼ等しい二個の試料を作成した。このうち一方は、大型圧密試験機でそのまま12日間隔載荷の圧密試験を実施した。他の方は、 P_0 を除荷し粘土塊から試料を採取し、通常の標準圧密試験を実施した。大型圧密試験結果が、実際地盤の圧密挙動を示すとこの報告では仮定している。

表～1 物理的性質

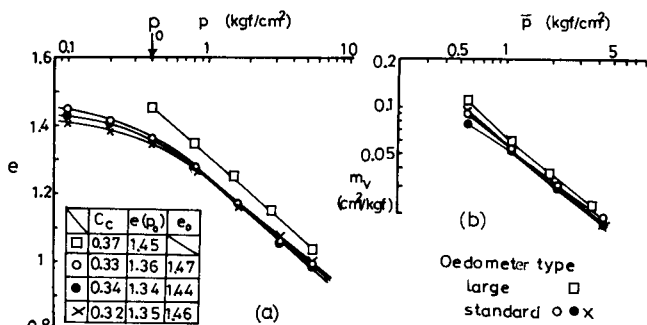
G_s	$W_L(\%)$	$W_p(\%)$	Silt(%)	clay(%)	sand(%)	Liq(%)
2.65	63.4	32.5	35.4	14.0	50.6	5.8

3. 実験結果と考察

図～1が圧密試験結果である。圧密荷重の解放や供試体成形などによる乱れの影響が標準圧密試験結果に認められる。

沈下量の算定式は、 m_v , C_c , e_0 、あるいは $e \sim \log P$ 曲線を用いて行われるが、図～1の $P_0 \sim P (=0.8 \text{ kgf/cm}^2)$ 間の三方法による沈下量を比較したのが表～2である。表～2によれば、算定法あるいは原位置間隙比の取り方によつて沈下量を過大にも、過小にも予測する可能性がある。

図～2は、 $P_0 \sim P (=0.8 \text{ kgf/cm}^2)$ 間の圧密量～時間関係を示したものである。標準圧密試験結果から圧密係数を求め、排水距離の大きな圧密量～時間関係を計算し図中に実線で示した。沈下速度の実測値と計算値は比較的よく一致しているが、実測値には両圧密試験ともに二次圧密が観察された



図～1 圧密試験結果

表～2 沈下量の比較

standard No.	$m_v(\text{cm}^3/\text{kgf})$	$e \sim \log P(1)$		$C_c^*(1)$		$C_c^*(2)$	
		R_s	$\Delta E(\%)$	R_s	$\Delta E(\%)$	R_s	$\Delta E(\%)$
1 ○	3.74	0.90	7.86	1.89	4.02	0.97	4.21
2 ●	3.06	0.74	7.00	1.68	4.19	1.01	4.37
3 ×	3.82	0.92	8.08	1.94	3.90	0.94	4.10

* (1) $e_0 = \text{initial void ratio}$, (2) $e_0 = e (P_0 = 0.4 \text{ kgf/cm}^2)$

め、標準圧密試験の24時間後の圧密量がそれより排水距離の大きな試料の何時間後の圧密量に応応するかが問題となる。

ニセ压密が時間の対数に比例して無限に続くとも考えられないが、压密量の収束値を実験によつて確めることが困難である。そこで、ニセ压密が排水距離の異なる試料の压密量～時間関係におよぼす影響を、図～3に示す力学模型と式(1)の三差の压密方程式を用いて検討した。

$$\frac{\partial \epsilon}{\partial t} = C_V \frac{\partial^2 \epsilon}{\partial z^2} \quad (1)$$

図～3に示したモデルでは、压密による体積ひずみを有効応力と時間の対数と考えており式(2)で表わされる。

$$\Delta \epsilon = \left[\frac{1}{t_0} + \sum_{i=1}^n \frac{1}{t_i} (1 - \exp(-\frac{t}{t_i} \cdot t)) \right] \cdot \Delta \sigma' \quad (2)$$

ここで、 $\frac{1}{t_0}$ 、 $\frac{1}{t_i}$ は体積ひずみ係数、 t_i は粒性係数、 n はフォートモデル数、 t は時間、 $\Delta \sigma'$ は有効応力増分である。

式(2)で表わされる体積ひずみは、フォートモデルの個数によつて一定時間後ほぼ一定値に収束する。数値計算を簡単化するためモデルの差数を、 $t_{00}=0.08$ 、 $t_{01}=0.005$ (m^3/min)、 $t_{02}=10^{1.2}$ (min) とし、フォートモデルの個数 $n=8$ 、压密荷重増分 $\Delta \sigma=1 kN/m^2$ とすればニセ压密は約10年後に終了し、体積ひずみ $\Delta \epsilon$ は1%に達する。压密係数 $C_V=0.1 cm^2/min$ 、最大排水距離 $H=1, 10, 10^2, 10^3 cm$ の4種類で数値計算した結果が図～4の実線である。

$H=1cm$ の計算結果から圧密法によつて压密係数を求めて、慣用的手法で $H=10cm$ 以上の压密量～時間関係を計算したのが図～4中の実線である。排水距離の大きい場合ほどクリーフ変形の含まれる割合が多くなり、見掛け上压密速度が早くなるので、標準圧密試験から求めた压密係数では現場の沈下速度を遅く予測する可能性のあることが示されていると思われる。

4. むすび

標準圧密試験で観測されるニセ压密速度は、時間の対数に比例する。無限に压密沈下が続続するとは思われないが、実験によつて最終沈下量を確認するのもかなり困難であろう。しかし、ニセ压密は沈下量、沈下速度いずれの予測にも大きく影響するので実際の沈下解析においても考慮すべきと思われる。